

图 3 不同浓度氮酮对 6-姜酚渗透性的影响

Fig. 3 Effects of different concentrations of azone on 6-gingerol permeability

三者作用有显著性差异 (P < 0.05), 其中 3% 氮酮 G 假 份 次 果 最 佳 。

6-姜酚具有强心、镇吐、降脂、化痰止咳、抗溃疡、抗肿瘤、抗菌、抗血小板凝聚等多种药理作用<sup>[15]</sup>,故对其透皮吸收的研究很有必要,本实验将为相关经皮给药制剂的开发提供实验依据。

### 参考文献:

- [1] 国家药典委员会. 中华人民共和国药典: 2015 年版一部 [S]. 北京: 中国医药科技出版社, 2015: 14-15.
- [2] 李计萍,王跃生,马 华,等.干姜与生姜主要化学成分的比较研究[J].中国中药杂志,2001,26(11):26-29.
- [3] 郑少英. 论仲景用生姜与现代药理及应用之比较研究[J]. 海峡药学, 2002, 14(5): 94-95.

- 4 ] 杨 明, 余德顺, 田弋夫, 等. 超临界 CO<sub>2</sub> 萃取与水蒸气蒸馏提取姜油的 GC-MS 分析[J]. 贵州化工, 2011, 36 (3): 34-37.
- [5] 张科卫,马彩霞,缪六舒.干姜、炮姜中成分的比较[J]. 中成药,2014,36(6):1254-1260.
- [6] 龙全江,徐雪琴.干姜化学成分、药理作用及加工炮制研究文献分析[J].现代中药研究与实践,2015,29(1):82-83.
- [7] 王少鹏,杨 光.姜酚生物活性研究进展[J].中国公共卫生,2013,29(10):1549-1552.
- [8] 朱 路, 王贵林. 姜的药理作用研究进展[J]. 长江大学学报(自然科学版), 2006, 3(3); 321-324.
- [9] 苏小妹,王 芳,汪国华,等. 生姜凝胶贴剂的制备及其体外透皮吸收的研究[J]. 江西中医药, 2009, 40(1): 61-63.
- [10] 朱卫丰,张亚红,刘红宁,等. 肉桂酸透皮吸收的实验研究[J]. 中成药,2003,25(6):13-15.
- [11] 丁宝月. 药物在不同皮肤中的渗透速率研究[D]. 杭州: 浙江大学, 2006.
- [12] 李理宇,张东娜,窦媛媛,等.不同促渗剂对氯诺昔康体外经皮吸收的影响[J].解放军药学学报,2011,27(1):20-22.
- [13] 朱雯宇,张 倩,朱玉欣,等. 不同浓度促透剂对绿原酸体外透皮吸收的影响[J]. 中兽医医药杂志,2017,36(1):5-8.
- [14] 韩 菊,魏福祥,王改珍,等. 生姜中姜酚的性能研究 [J]. 食品科技,2004(4):63-65.
- [15] 王文心. 干姜的化学、药理及临床应用特点分析[J]. 中医临床研究, 2016, 8(6): 146-148.

## 麻黄-五味子药对提取物制备工艺的优化

王小花, 张建军, 李 伟, 王玉杰, 汤如莹, 王林元\* (北京中医药大学, 北京 100029)

摘要:目的 优化麻黄-五味子药对提取物制备工艺。方法 在单因素试验基础上,以麻黄碱、伪麻黄碱总转移率,五味子醇甲转移率为指标,加醇量、回流次数、回流时间为影响因素,正交试验优化提取工艺。结果 最佳条件为8、6 倍量 70% 乙醇回流提取 2 次,每次 1.5 h,提取液减压浓缩干燥(真空度 ≤ -0.07 MPa),麻黄碱、伪麻黄碱总转移率 71.03%,五味子醇甲转移率 74.81%。结论 该制备工艺有效成分转移率高,稳定可行。麻黄-五味子药对采用 70% 乙醇提取时,既有利于提取五味子木脂素,又可减少麻黄生物碱在浓缩干燥过程中的损失。

关键词:麻黄-五味子药对;制备;正交试验

中图分类号: R284.2

文献标志码: A

文章编号: 1001-1528(2018)03-0586-06

doi:10.3969/j.issn.1001-1528.2018.03.015

收稿日期: 2017-08-28

作者简介: 王小花 (1992—), 女, 硕士生, 从事中药新技术与新制剂的研究与应用。Tel: 15911125389, E-mail: 15911125389@163.com
\* 通信作者: 王林元 (1961—), 男, 副教授, 硕士生导师, 从事中药新技术与新制剂的研究与应用。Tel: (010) 68286099, E-mail:

\* **通信作者**: 王林元 (1961—), 男, 副教授, 硕士生导师, 从事中药新技术与新制剂的研究与应用。Tel: (010) 68286099, E-mail 13381002202@ vip. 163. com

# Preparation optimization for *Ephedrae Herba-Schisandrae chinensis Fructus* drug pair extract

WANG Xiao-hua, ZHANG Jian-jun, LI Wei, WANG Yu-jie, TANG Ru-ying, WANG Lin-yuan\* (Beijing University of Chinese Medicine, Beijing 100029, China)

KEY WORDS: Ephedrae Herba-Schisandrae chinensis Fructus drug pair; preparation; orthogonal test

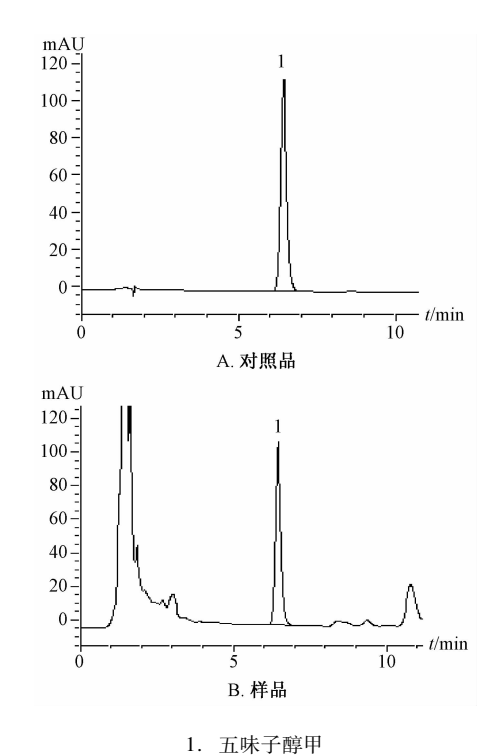
麻黄具有发散风寒、盲肺平喘、利水消肿的功 效[1], 主要活性成分为麻黄碱、伪麻黄碱、甲基 麻黄碱、去甲基麻黄碱等生物碱[2-3],具有缓解支 气管平滑肌痉挛的作用[4-5]; 五味子具有收敛固 涩、益气生津、补肾宁心功效[1],主要活性成分 为五味子醇甲、五味子甲素、五味子乙素等木脂 素[6],具有镇咳、祛痰及兴奋呼吸系统作用[2], 两药配伍散敛并举、止咳平喘, 作为临床常用药对 在《伤寒论》、《金匮要略》中多处可见,如小青 龙汤、射干麻黄汤、厚朴麻黄汤等,现代药理研究 发现, 两药配伍对肺纤维化大鼠的肺部小动脉损伤 具有保护作用,可抑制肺微小血管增生[7-8]。中药 传统提取方法为水煎煮提取,但麻黄生物碱易随水 蒸气一起蒸馏出[9], 五味子木脂素类成分很难被 充分提出[10-11],为了保证制剂疗效,本实验拟采 用多指标正交试验法优选麻黄-五味子药对提取物 的制备工艺,为两药配伍及相关制剂开发研究提供 实验依据。

### 1 材料

Agilent 1100 Series 液相色谱仪(安捷伦科技有限公司); KQ3200E 超声波清洗器(昆山市超声仪器有限公司)。甲醇为色谱纯;水为蒸馏水;其余试剂为分析纯。五味子醇甲(批号110857-201513)、盐酸麻黄碱(批号171242-200404)、盐酸伪麻黄碱(批号171237-201208)对照品购自中国食品药品检定研究院。麻黄、五味子均购自河北安国中药材市场,经北京中医药大学中药教研室张建军教授鉴定为正品。

#### 2 方法与结果

- 2.1 五味子醇甲含有量测定
- 2.1.1 色谱条件  $C_{18}$ 色谱柱  $(4.6 \text{ mm} \times 150 \text{ mm}, 5 \text{ } \mu\text{m})$ ; 流动相甲醇-水 (65:35); 检测波长 250 nm; 体积流量 1.0 mL/min。色谱图见图 1。
- 2.1.2 溶液制备
- 2.1.2.1 对照品溶液 精密称取五味子醇甲对照品适量,加甲醇制成每1 mL含五味子醇甲 0.1 mg



1. schisandrin 图 1 五味子醇甲 HPLC 色谱图

Fig. 1 HPLC chromatograms of schisandrin

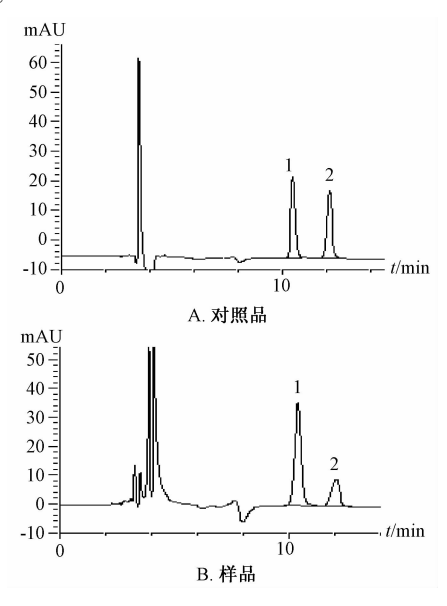
的溶液,即得。

- 2.1.2.2 供试品溶液 精密称取提取物粉末约0.3g,置于25mL量瓶中,加甲醇约20mL,超声(功率250W、频率20kHz)20min,取出,甲醇定容至刻度,摇匀,滤过,取续滤液,即得。
- 2.1.3 线性关系考察 吸取 "2.1.2.1" 项下对照品溶液 2.5、5.0、7.5、10.0、12.5、15.0  $\mu$ L,在 "2.1.1" 项色谱条件下测定。以进样量为横坐标 (X),峰面积为纵坐标 (Y) 进行线性回归,得回归方程为 Y=1 736.3X-11.6 (r=0.999 8),在 0.244~1.464  $\mu$ g 范围内线性关系良好。
- 2.1.4 加样回收率试验 精密称取五味子醇甲含有量已知的提取物粉末6份,每份约0.15g,各加入五味子醇甲约1 mg,按 "2.1.2.2"项下方法制备供试品溶液,在 "2.1.1"项色谱条件下测定,

测得五味子醇甲加样回收率为 99.08%, RSD 为 2.12%。

## 2.2 麻黄碱和伪麻黄碱含有量测定

2.2.1 色谱条件 极性乙醚连接苯基键合硅胶色谱柱 (4.6 mm × 250 mm, 5 μm); 流动相甲醇-0.092% 磷酸 (含 0.125% 三乙胺) (1.5:98.5); 检测波长 210 nm; 体积流量 1.0 mL/min。色谱图见图 2。



1. 麻黄碱 2. 伪麻黄碱

1. ephedrine 2. pseudoephedrine

图 2 麻黄碱、伪麻黄碱 HPLC 色谱图

Fig. 1 HPLC chromatograms of ephedrine and pseudoephedrine

#### 2.2.2 溶液制备

2.2.2.1 对照品溶液 精密称取盐酸麻黄碱、盐酸伪麻黄碱对照品适量,加甲醇制成每1 mL 各含40 μg 对照品的溶液,即得。

2.2.2.2 供试品溶液 精密称取提取物粉末约0.2g, 置于25 mL量瓶中,加70% 乙醇约20 mL,超声(功率250 W、频率20 kHz)20 min,取出,70% 乙醇定容至刻度,摇匀,滤过,取续滤液1 mL,95% 乙醇定容至2 mL,加0.5g Al<sub>2</sub>O<sub>3</sub>摇匀,静置,取上清,即得。

2.2.3 线性关系考察 分别吸取 "2.2.2.1" 项下对照品溶液 2.5、5.0、7.5、10.0、12.5、15.0  $\mu$ L,在 "2.2.1" 项色谱条件下进样测定。以进样量为横坐标 (X),峰面积为纵坐标 (Y) 进行线性回归,得回归方程分别为 Y=1 708.3X-13.4 (r=0.9998)、Y=1 582.6X+2.5 (r=0.9994),分别在 0.12~0.72、0.109~0.654  $\mu$ g 范围内线性关系

良好。

2.2.4 加样回收率试验 精密称取麻黄碱、伪麻黄碱含有量已知的提取物粉末6份,每份约0.1g,分别加入麻黄碱、伪麻黄碱1.52、0.42 mg,按"2.2.2.2"项下方法制备供试品溶液,在"2.2.1"项色谱条件下测定,测得两者平均加样回收率分别为99.67%、100.40%,RSD分别为1.95%、2.33%。

#### 2.3 提取工艺优化

2.3.1 麻黄提取溶剂 取麻黄 50 g,分别加 10、8 倍量的水、70% 乙醇,回流提取 1 h,平行 6 份,过滤,合并滤液(药材量 16 倍),按表 4 参数减压浓缩(真空度 ≤ -0.07 MPa、温度 ≤ 70 ℃)至相应药材倍量的体积,测定麻黄碱和伪麻黄碱含有量,计算转移率,并按照 2015 版《中国药典》第四部中蒸馏法第一法测定乙醇提取浓缩液中乙醇含有量,结果见表 1、图 3。

表 1 麻黄提取溶剂考察结果

Tab. 1 Results of extraction solvent investigation for *Ephedrae Herba* 

提取溶剂	浓缩至药材	乙醇/%	麻黄碱、伪麻黄	麻黄碱、伪麻黄
1年以份川	倍数/倍	△時//0	碱总转移率/%	碱总损失率/%
水	16	0	67. 4	0
	12	0	56. 9	10. 5
	8	0	47. 6	19. 8
	4	0	40. 2	27. 2
	2	0	37. 3	30. 1
	干膏	0	33.8	33. 6
70% 乙醇	16	69.7	78. 5	0
	12	63.8	78. 1	0.4
	8	51.4	77. 5	1.0
	4	22. 7	76. 9	1.6
	2	5. 1	71. 3	6. 2
	干膏	0	66. 3	12. 2

由表1可知,水、70% 乙醇均可将麻黄碱和伪麻黄碱提出,醇提转移率优于水提。结合图3可知,麻黄碱和伪麻黄碱在水提液浓缩干燥过程中的损失较大,达30%以上;在70%乙醇提取液浓缩干燥过程中,当乙醇含有量较高时,两者几乎不损失,而含有量较低时损失量逐渐增大,总损失率约为12%,但仍明显低于水提取。因此,本实验采用乙醇提取麻黄,并且其含有量显著影响麻黄碱和伪麻黄碱在浓缩干燥过程中的损失率。

2.3.2 五味子破碎及提取溶剂 取五味子 50 g, 按表 5 参数分别加 8 倍量水、70% 乙醇, 回流提取 1 h, 过滤, 测定滤液中五味子醇甲含有量, 并计算转移率, 结果见表 2。

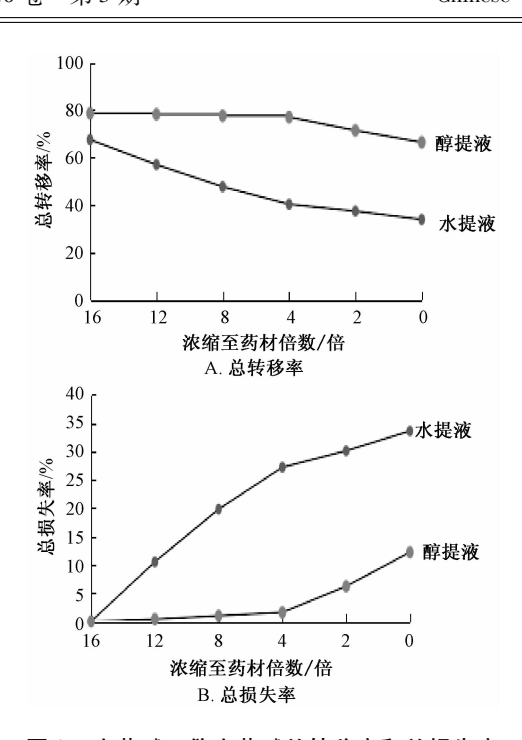


图 3 麻黄碱、伪麻黄碱总转移率和总损失率 Fig. 3 Total transfer and loss rates of ephedrine and pseudoephedrine

表 2 破碎与提取溶剂种类对五味子醇甲转移率的影响
Tab. 2 Effects of fragmentation and extraction solvent kind on the transfer rate of schisandrin

_			
	提取溶剂	破碎与否	五味子醇甲转移率/%
	水	不破碎	5. 49
	水	破碎(过10目筛)	26. 77
	70% 乙醇	不破碎	16. 21
	70% 乙醇	破碎(过10目筛)	52. 91
_			

由表可知,五味子破碎后五味子醇甲转移率显著升高,而且醇提取高于水提取,表明五味子木脂素类成分难溶于水,而且种壳坚实,进一步,阻碍其提取,故本实验将五味子破碎后用乙醇提取。

综上所述,乙醇提取麻黄和五味子时,不仅提取转移率高,而且有利于减少浓缩干燥过程中麻黄生物碱的损失,同时破碎还有利于五味子木脂素的提取。

2.3.3 乙醇体积分数 取破碎五味子(过10目筛)24g、麻黄30g,共4份,分别加8倍量50%、60%、70%、80%乙醇回流提取1h,测定提取液中麻黄碱、伪麻黄碱、五味子醇甲含有量,并计算转移率。结果见表3。

由表 3 可知,以麻黄碱和伪麻黄碱转移率为指标,60%、70%、80% 乙醇优于50% 乙醇;以五味子醇甲转移率为指标,70%、80% 乙醇优于50%、60% 乙醇。但麻黄含有叶绿素等脂溶性成

表 3 乙醇体积分数考察结果

Tab. 3 Results of ethanol concentration investigation

乙醇/%		转移率/%
	麻黄碱和伪麻黄碱	五味子醇甲
50	40. 41	35. 49
60	45. 32	42. 80
70	46. 31	50. 54
80	48. 57	52.77

分,当乙醇体积分数大于 70% 时会大量溶出,易使干膏粉吸潮,同时结合实际生产情况,最终确定 70% 乙醇作为提取溶剂。

2.3.4 正交试验优化 以麻黄碱、伪麻黄碱、五味子醇甲转移率为评价指标,加醇量(A)、回流次数(B)、回流时间(C)为影响因素。称取破碎五味子(过10目筛)24g、麻黄30g,共9份,按L<sub>9</sub>(3<sup>4</sup>)正交表进行提取工艺优化,测定提取液中麻黄碱、伪麻黄碱、五味子醇甲含有量,并计算转移率。因素水平见表4,结果见表5,方差分析见表6~7。

表 4 因素水平 Tab. 4 Factors and levels

水平 -	因素						
	A 加醇量/倍	B 提取次数/次	C 提取时间/h				
1	6,4,4	1	0. 5				
2	8,6,6	2	1				
3	10,8,8	3	1.5				

由方差分析可知,以麻黄碱、伪麻黄碱总转移率为指标时,加醇量(A)和提取次数(B)有显著性差异(P<0.05);以五味子醇甲转移率为指标时,提取次数(B)有显著性差异(P<0.05)。由直观分析可知,加醇量(A)和提取次数(B)的2、3水平优于1水平,而且两者差异小,选择A<sub>2</sub>和B<sub>2</sub>;提取时间(C)各水平均有差异,选择C<sub>3</sub>,结合实际生产,确定最优提取工艺为A<sub>2</sub>B<sub>2</sub>C<sub>3</sub>,即加8、6倍量70%乙醇回流提取2次,每次1.5h,麻黄碱、伪麻黄碱总转移率,五味子醇甲转移率均高于70%。

2.4 浓缩干燥工艺考察 取破碎五味子(过10目筛)24g、麻黄30g,共12份,按"2.3.3"项下最优工艺提取,在不同真空度下浓缩至不同药材倍量体积,并测定对应的乙醇含有量。同时,计算麻黄碱、伪麻黄碱在浓缩干燥阶段的总转移率和总损失率,其中乙醇含有量按照2015版《中国药典》第四部中蒸馏法第一法测定,结果见图4、表8。

表 5 试验设计与结果

Tab. 5 Design and results of tests

试验号		因素			麻黄碱、伪麻黄碱	五味子醇甲	
		A	В	С	D(空白)	- 总转移率/%	转移率/%
1		1	1	1	1	39. 31	47. 29
2		1	2	2	2	63.77	61. 57
3		1	3	3	3	73. 65	69. 84
4		2	1	2	3	60. 39	63. 54
5		2	2	3	1	80. 94	74. 12
6		2	3	1	2	78. 53	69. 25
7		3	1	3	2	68. 4	65. 76
8		3	2	1	3	77. 47	72. 43
9		3	3	2	1	81.73	77. 75
麻黄碱、伪麻黄碱总转移率	$K_1$	58. 91	56. 03	65. 10	67. 33		
	$K_2$	73. 29	74.06	68. 63	70. 23		
	$K_3$	75. 87	77. 97	74. 33	70.50		
	R	16.96	21.94	9. 23	3. 18		
五味子醇甲转移率	$K_1$	59. 57	58. 86	62. 99	66. 39		
	$K_2$	68. 97	69. 37	67. 62	65. 53		
	$K_3$	71. 98	72. 28	69. 91	68.60		
	R	12. 41	13. 42	6. 92	3.08		

表 6 麻黄碱、伪麻黄碱总转移率方差分析

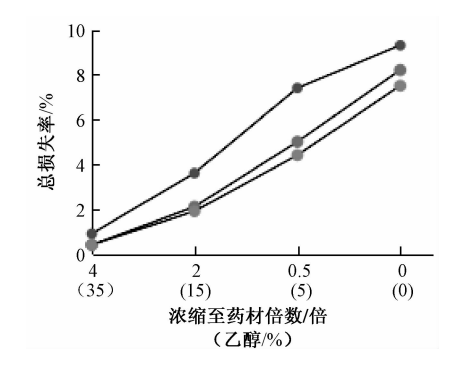
Tab. 6 Analysis of variance for the total transfer rate of ephedrine and pseudoephedrine

A 500. 873 2 250. 437 26. 910 0. 036 B 821. 466 2 410. 733 44. 134 0. 022 C 130. 059 2 65. 029 6. 988 0. 125 D 18. 613 2 9. 306 — —	来源	离均差平方和	自由度	均方	F 值	P 值
C 130. 059 2 65. 029 6. 988 0. 125	A	500. 873	2	250. 437	26. 910	0.036
	В	821. 466	2	410. 733	44. 134	0.022
D 18.613 2 9.306 — —	C	130. 059	2	65. 029	6. 988	0. 125
	D	18. 613	2	9. 306	_	_

表 7 五味子醇甲转移率方差分析

Tab. 7 Analysis of variance for the transfer rate of schisandrin

来源	离均差平方和	自由度	均方	F 值	P 值
A	251. 574	2	125. 787	16. 639	0.057
В	298. 916	2	149. 458	19. 771	0.048
C	74. 506	2	37. 253	4. 928	0. 169
D	15. 119	2	7.560	_	_



注: 3条曲线从上往下, 真空度分别为-0.07、-0.05、-0.03 MPa

图 4 麻黄碱、伪麻黄碱总损失率

Fig. 4 Total loss rate of ephedrine and pseudoephedrine

表 8 麻黄碱、伪麻黄碱总转移率和总损失率 Tab. 8 Total transfer and loss rates of ephedrine and

pseudoephedrine

	直应度/	浓缩至药材	乙醇/	麻黄碱、伪麻黄	麻黄碱、伪麻黄碱
试验号				碱总转移率/	总损失率/
	MPa	倍数/倍	%	%	%
1	-0.07	4	35. 7	79. 8	0. 9
		2	15. 2	77. 1	3.6
		0.5	5.4	73. 3	7. 4
		干膏	0	71.4	9. 3
2	-0.05	4	35. 2	80. 3	0.4
		2	14. 9	78. 6	2. 1
		0.5	5.0	75. 7	5. 0
		干膏	0	72. 5	8. 2
3	-0.03	4	34. 5	80. 3	0. 4
		2	14. 9	78. 8	1.9
		0.5	5. 3	76. 3	4. 4
		干膏	0	73. 2	7. 5
		未浓缩	69.7	80. 7	0

由此可知, 当浓缩干燥过程中乙醇含有量高于 15%时,麻黄碱和伪麻黄碱基本不损失;低于 15%时,两者损失量逐渐增大,总损失率约为 9%。此外,降低真空度可减少麻黄生物碱的损失, 但相对于提取液而言对乙醇含有量无显著影响,同 时明显增加了浓缩干燥时间。结合实际生产,选择 -0.07 MPa 真空度进行减压浓缩干燥。

2.5 验证试验 取破碎五味子(过10目筛) 24 g、麻黄 30 g, 共 3 份, 按 "2.3.3" 项下最优 工艺提取,干膏粉碎,计算麻黄碱、伪麻黄碱总转 移率, 五味子醇甲转移率, 结果见表9。

	Tab. 9 Results	of validation tests		
碱/	五味子醇甲/		转移率/%	
	( mg•g <sup>-1</sup> )	麻黄碱、伪麻黄碱	五味子醇甲	
	8. 52	70. 55	75. 21	
	8 34	71 17	74 70	

#### 麻黄碱、伪麻黄碱 试验号 出膏率/% $(mg \cdot g^{-1})$ 1 20.4 18.83 2 20.7 18.72 3 19.33 8.57 71.36 74.53 20.1 平均值 71.03 74.81 20.4 18.96 8.48

#### 3 讨论

本实验中五味子醇甲含有量的测定参考 2015 版 《中国药典》 五味子药材项下, 并进行了方法学考 察:麻黄碱、伪麻黄碱含有量的测定在2015版《中 国药典》麻黄药材项下和文献报道基础上[12],对色 谱条件及供试品制备方法进行了优化。首先,供试 品采用磷酸溶液超声提取,流动相采用甲醇-0.092% 磷酸 (含0.04% 三丁胺和0.02% 二正乙胺, 1.5:98.5),发现麻黄碱和伪麻黄碱色谱峰有干扰。 然后,制备供试品时考察了70%乙醇超声提取、 70% 乙醇超声提取结合 Al,O,除杂,流动相组成考 察了二正丁胺、三乙胺用量,发现采用70%乙醇超 声提取结合 Al<sub>2</sub>O<sub>3</sub> 除杂, 以及流动相采用甲醇-0.092%磷酸(含0.125%三乙胺, 1.5:98.5)时, 可去除五味子成分对以上2种成分色谱峰的干扰。

麻黄-五味子是临床常用的止咳平喘药对,本 实验对提取、浓缩干燥过程进行了研究,发现与传 统水提取相比, 乙醇提取时麻黄生物碱、五味子木 脂素转移率高,同时还有利于减少前者在浓缩干燥 过程中的损失, 其原因可能是乙醇沸点低, 浓缩干 燥时易于挥发,有利于保留该成分;同时五味子富 含有机酸类成分[13],麻黄、五味子合提时,该类 成分可能与麻黄生物碱反应形成盐,从而减少挥发 损失。陈绍轩等[14]对麻黄提取工艺进行了研究, 也发现乙醇提取时麻黄碱、伪麻黄碱总转移率高于 水提取,酸性乙醇提取高于乙醇提取。综上所述, 麻黄-五味子药对采用70%乙醇提取时兼顾了两者 有效成分, 既可保留易随水蒸气一起挥发的麻黄生 物碱,又能使水溶性差的五味子木脂素被充分提 出, 使其药效得以完全发挥。

#### 参考文献:

- [1] 国家药典委员会. 中华人民共和国药典: 2015 年版一部 [S]. 北京: 中国医药科技出版社, 2015.
- 张梦婷, 张嘉丽, 任阳阳, 等. 麻黄的研究进展[J]. [2] 世界中医药, 2016, 11(9): 1917-1921, 1928.
- [3] Zhao W., Deng A.J., Du G.H., et al. Chemical constituents of the stems of Ephedra sinica [J]. J Asian Nat Prod Res, 2009, 11(2): 168-171.
- 高学敏. 中药学[M]. 北京: 中国中医药出版社, 2007. [4]
- [5] Mei F, Xing X F, Tang Q F, et al. Antipyretic and anti-asthmatic activities of traditional Chinese herb-pairs, Ephedra and Gypsum[J]. Chin J Integr Med, 2016, 22(6): 445-450.
- 杨 擎, 曲晓波, 李 辉, 等. 五味子化学成分与药理作 [6] 用研究进展[J]. 吉林中医药, 2015, 35(6): 626-628.
- [7] 翟华强,张硕峰,高明超,等. 麻黄和五味子对肺纤维化 大鼠肺组织病理形态的影响[J]. 中西医结合学报, 2011, 9(5): 553-557.
- [8] 翟华强,张硕峰,刘 洋,等.麻黄、五味子影响肺纤维 化大鼠血管新生的差异性研究[J]. 北京中医药大学学报, 2011, 34(5): 313-317.
- 匡海学. 中药化学[M]. 北京: 中国中医药出版社, 2003. [9]
- [10] 蒋益萍,张巧艳,张 宏,等. 正交试验优选五味子木脂素 类成分的提取工艺[J]. 中成药, 2013, 35(11): 2390-2394.
- [11] 胡 燕,窦志华. 多指标优选五味子种子中木脂素类成分 提取工艺[J]. 中南药学, 2015, 13(10): 1033-1036.
- [12] 张若曦, 丁 越, 张 彤, 等. 芩麻方中各味药材对麻黄提 取效率的影响研究[J]. 中成药, 2013, 35(6): 1336-1339.
- 李 丽, 肖永庆, 于定荣, 等. HPLC 测定五味子中 3 种有机 [13] 酸的含量[J]. 中国中药杂志, 2011, 36(23): 3286-3289.
- [14] 张绍轩,李 勇,黄 青,等. 用正交试验优选盐酸乙醇 回流法提取麻黄的工艺研究[J]. 中成药, 2008, 30(5): 758-760.